



# БИООРГАНИЧЕСКАЯ ХИМИЯ

Том 19 \* № 1 \* 1993

УДК 547.854.4'455.6'118.057

© 1993 Е. В. Ефимцева, С. Н. Михайлов,  
С. В. Мешков \*, А. В. Бочкарев, Г. В. Гурская

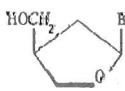
## ДИОКСОЛАНОВЫЕ ПРОИЗВОДНЫЕ 3'-ДЕЗОКСИТИМИДИНА

Институт молекулярной биологии им. В. А. Энгельгардта РАН, Москва;

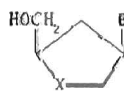
\*Институт химической физики им. И. Н. Семёнова РАН, Москва

Синтезированы новые аналоги нуклеозидов на основе *цис*- и *транс*-2-метил-4-гидроксиметил-1,3-диоксоланов. Алкилирование натриевой соли тимина 2-бромметил-4-бензоилоксисиметил-1,3-диоксоланом, а затем хроматографическое разделение *цис*- и *транс*-изомеров на обращенной фазе и дальнейшее дебензоилирование приводили к искомым аналогам 2',3'-дизоксинуклеозидов. Фосфорилированием диоксолановых нуклеозидов  $\beta$ -цианэтилфосфатом в присутствии N,N'-дициклогексилкарбодиимида с последующим деблокированием получены монофосфаты, которые превращали в соответствующие трифосфаты. Структура синтезированных соединений подтверждена данными ЯМР-спектроскопии и рентгеноструктурного анализа.

В последние годы проблема поиска новых аналогов 2',3'-дизоксинуклеозидов, обладающих антиретровирусной активностью, чрезвычайно актуальна [1, 2]. Используемые для лечения СПИДа препараты, азидотимидин и 2',3'-дизоксиинозин [3, 4], имеют ряд недостатков. Высокая токсичность, появление устойчивых к действию азидотимидина штаммов вируса иммунодефицита человека (ВИЧ) [5], нестабильность гликозидной связи 2',3'-дизоксинуклеозидов в условиях кислотного гидролиза [6] ограничивают возможности применения таких соединений. Недавние работы в этой области привели к созданию ряда перспективных синтетических нуклеозидов на основе тетрагидрофурана (I) [7], (II) [8, 9], тетрагидротиофена (III) [10], 1,3-оксатиолана (IV) [11] и 1,3-диоксолана (V) [11–13], (VI) [11]. Исследования противовирусных свойств *in vitro* показали, что наиболее активен тиоаналог (IV) [14]. Также оказалось, что анти-ВИЧ-активностью обладает соединение (VI) с неприродной *транс*-конфигурацией [14].

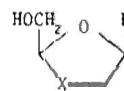


(I)



(II) X=O

(III) X=S



(IV) X=S, B=Cyt

(V) X=O, B=Thy, Cyt



(VI)

Наличие у таких необычных аналогов нуклеозидов биологической активности позволяет предположить, что получение родственных им соединений, имеющих как *цис*-, так и *транс*-конфигурацию, может представлять интерес. В настоящей работе описан синтез и физико-химические свойства 2',3'-дизоксинуклеозидов на основе *цис*- и *транс*-2-метил-4-гидроксиметил-1,3-диоксоланов.

Переацетализацией диэтилацетала бромацетальдегида с 1-O-бензоилглицерином [15] в присутствии *n*-толуолсульфокислоты с одновременной отгонкой спирта получали бромид (VII) (схема) в виде рацемической смеси диастереомеров с

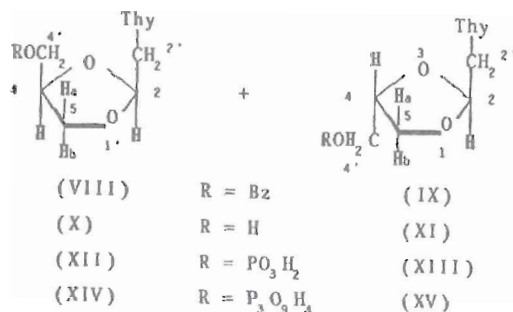
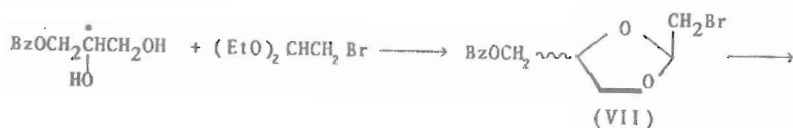
Таблица 1

## Свойства соединений (VIII)–(XI)

| Соединение | ТСХ:<br><i>R<sub>f</sub></i> в системе В | ВЭЖХ *  |                            | Т. пл. (этанол),<br>°C |
|------------|--|---------|----------------------------|------------------------|
|            |  | MeCN, % | <i>R<sub>t</sub></i> , мин |                        |
| (VIII)     | 0,80                                     | 30      | 10,7                       | 161–162                |
| (IX)       | 0,80                                     | 30      | 14,6                       | 139–141                |
| (X)        | 0,38                                     | 2       | 33,6                       | 167–169                |
| (XI)       | 0,37                                     | 2       | 35,7                       | 148–151                |

\*Разделение проводили на колонке (4,5×250 мм) Octadecyl-Si100, 5 мкм (Serva) в смеси ацетонитрил — 0,1 М водный ацетат натрия (рН 7,0) со скоростью 1 мл/мин, детектирование по поглощению при  $\lambda$  254 нм.

суммарным выходом 79%. Соотношение *цис*-/*транс*-изомеров, по данным ПМР-спектров, составляет 3 : 2.



Алкилирование натриевой соли тимина бромидом (VII) приводило к образованию N1,N3-бис- и N1-производных [16], которые выделяли хроматографией на силикагеле. Однако смесь диастереомерных ( $\pm$ )-бензоилнуклеозидов (VIII) и (IX) не удалось разделить с помощью адсорбционной хроматографии (табл. 1). Проблема разделения диастереомеров была решена с использованием обращенно-фазовой хроматографии. В табл. 1 приведены данные аналитического разделения смеси диастереомеров, а также некоторые другие физико-химические характеристики.

Аналитические данные были использованы при выборе оптимальных условий препаративного разделения смеси аномеров. Наилучшие результаты были получены при разделении смеси защищенных производных (VIII) и (IX) на колонке объемом 150 мл, заполненной сорбентом Bondesil C18 (40 мкм) в системе ацетонитрил — вода (1 : 3).

Структуру выделенных изомеров доказывали с помощью ЯМР-спектроскопии. В <sup>13</sup>C-ЯМР-спектрах *цис*- и *транс*-изомеров (соответственно (VIII) и (IX)) существенных различий обнаружено не было, поэтому для установления структуры применяли ПМР-спектроскопию (табл. 2).

Отнесение конфигурации полученных диастереомеров было осуществлено по расположению триплетного сигнала ацетального протона H<sub>2</sub>. Известно, что в

Таблица 2

## Спектры ПМР диоксолановых аналогов (VIII)–(XI)

| Соединение (рас-<br>творитель)  | Химический сдвиг, $\delta$ , м. д. (КССВ, Гц) |           |           |                             |                                  |                                  |                             |                                  |                                  |                               |                               |
|---------------------------------|---|-----------|-----------|-----------------------------|----------------------------------|----------------------------------|-----------------------------|----------------------------------|----------------------------------|-------------------------------|-------------------------------|
|                                 | гетероцикл                                    |           |           | диоксолановый остаток       |                                  |                                  |                             |                                  |                                  |                               |                               |
|                                 | H6'   | H5''      | NH        | H2<br>(J <sub>2,2'a</sub> ) | H2'a<br>(J <sub>2'a, 2'b</sub> ) | H2'b<br>(J <sub>2'a, 2'b</sub> ) | H4<br>(J <sub>4,4'a</sub> ) | H4'a<br>(J <sub>4'a, 4'b</sub> ) | H4'b<br>(J <sub>4'a, 4'b</sub> ) | H5a<br>(J <sub>5a, 5'</sub> ) | H5b<br>(J <sub>5a, 5b</sub> ) |
| (VIII)*<br>(CDCl <sub>3</sub> ) | 7,07<br>κ<br>(1,2)                            | 1,78<br>Δ | 8,4<br>γс | 5,08<br>τ<br>(3,8)          | 3,91<br>δД<br>(-14,3)            | 3,86<br>δД<br>(-14,3)            | 4,42<br>δДД<br>(4,4)        | 4,32<br>δД<br>(-11,7)            | 4,29<br>δД<br>(-8,5)             | 3,92<br>δД<br>(4,8)           | 3,98<br>δД<br>(6,8)           |
| (IX)*<br>(CDCl <sub>3</sub> )   | 7,10<br>κ<br>(1,2)                            | 1,87<br>Δ | 8,3<br>γс | 5,22<br>τ<br>(3,7)          | 3,93<br>δД<br>(-14,4)            | 3,80<br>δД<br>(-14,4)            | 4,41<br>δДД<br>(4,2)        | 4,36<br>δД<br>(-12,0)            | 4,35<br>δД<br>(-8,5)             | 4,15<br>δД<br>(6,4)           | 3,77<br>δД<br>(6,4)           |
| (X)<br>(D <sub>2</sub> O)       | 7,27<br>κ<br>(1,2)                            | 1,67<br>Δ |           | 5,03<br>τ<br>(2,5)          | 3,85<br>Δ                        | 3,85<br>Δ                        | 4,06<br>δДД<br>(4,3)        | 3,38<br>δД<br>(-11,9)            | 3,24<br>δД<br>(-8,5)             | 3,52<br>δД<br>(5,8)           | 3,79<br>δД<br>(7,4)           |
| (XI)<br>(D <sub>2</sub> O)      | 7,26<br>κ<br>(1,2)                            | 1,66<br>Δ |           | 5,13<br>τ<br>(2,8)          | 3,81<br>δД<br>(-14,6)            | 3,74<br>δД<br>(2,8)              | 4,04<br>δДД<br>(3,4)        | 3,49<br>δД<br>(-12,1)            | 3,40<br>δД<br>(6,4)              | 3,89<br>δД<br>(7,4)           | 3,52<br>δД<br>(7,3)           |

\* Прочие протоны,  $\delta$ , м. д.: 8,03δ, 7,59τ, 7,46τ (5Н, Вz).

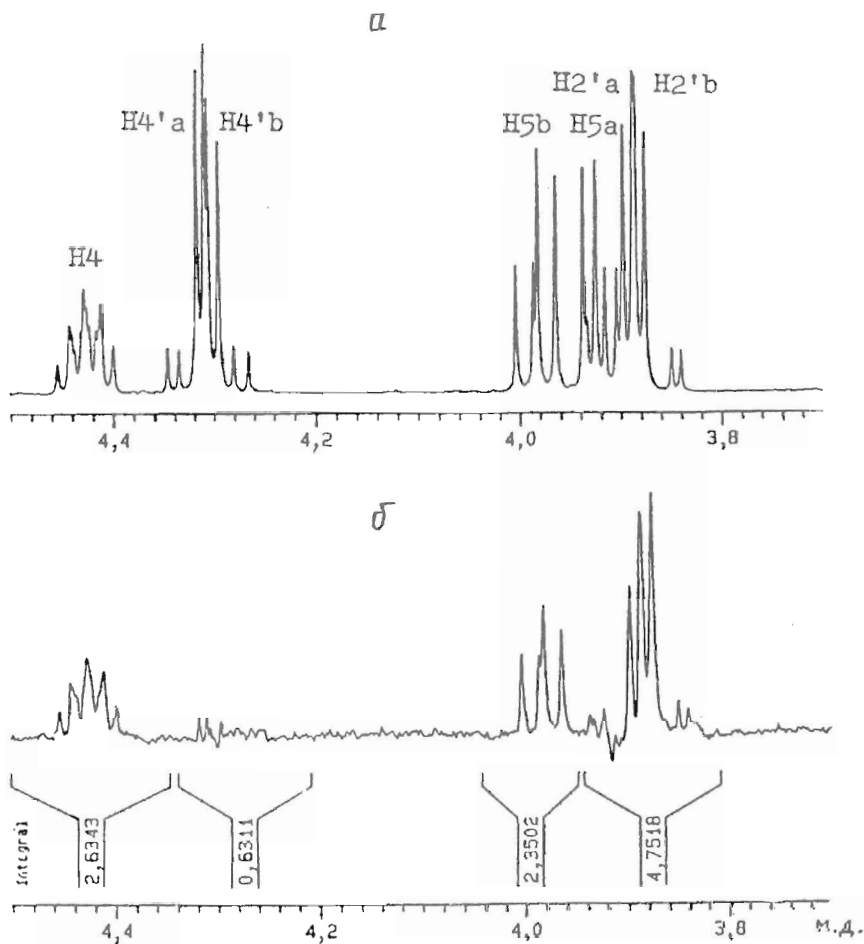


Рис. 1. Сильнопольная часть ПМР-спектра соединения (VIII) в  $\text{CDCl}_3$  при 300 К (а) и ЯЭО, возникающие при насыщении сигнала  $\text{H}_2$  (б).

2,4-дизамещенных 1,3-диоксоланах сигнал ацетального протона *цикло*-изомера располагается в более сильном поле, чем триплет *транс*-изомера [17].

Основная трудность при интерпретации данных ПМР-спектров связана с отнесением диастереотопных сигналов протонов в трех  $\text{CH}_2$ -группах: экзоциклических  $\text{H}2'\text{a}$ ,  $2'\text{b}$ ,  $\text{H}4'\text{a}$ ,  $4'\text{b}$  и находящейся в цикле  $\text{H}5\text{a}$ ,  $5\text{b}$ . Из табл. 2 следует, что метиленовые группы различаются значением геминальной константы. Для расположенной в цикле  $\text{CH}_2$ -группы характерна константа  $J_{5\text{a},5\text{b}} = -8,5$  Гц [17], а геминальная константа  $J_{2'\text{a},2'\text{b}}$  в  $\text{CH}_2\text{N}$ -группе больше, чем  $J_{4'\text{a},4'\text{b}}$  в  $\text{CH}_2\text{O}$ -группе. Следует отметить, что в спектрах ПМР диастереомеров наблюдаются различающиеся константы взаимодействия между протонами  $\text{H}4$  и  $\text{H}5\text{a}, 5\text{b}$ . Для *цикло*-изомера (VIII) характерно  $J_{5\text{a},4} < J_{5\text{b},4}$ , тогда как в *транс*-изомере эти константы имеют близкие значения:  $J_{5\text{a},4} \sim J_{5\text{b},4}$  [17].

Сигналы, соответствующие протонам  $\text{H}4'\text{a}$ ,  $4'\text{b}$ , можно отнести, сравнивая данные спектров бензоильных производных (VIII), (IX) и нуклеозидов (X), (XI). Дебензилирование приводит к сдвигу сигналов  $\text{H}4'\text{a}$ ,  $\text{b}$  в сильное поле на ~1 м. д.

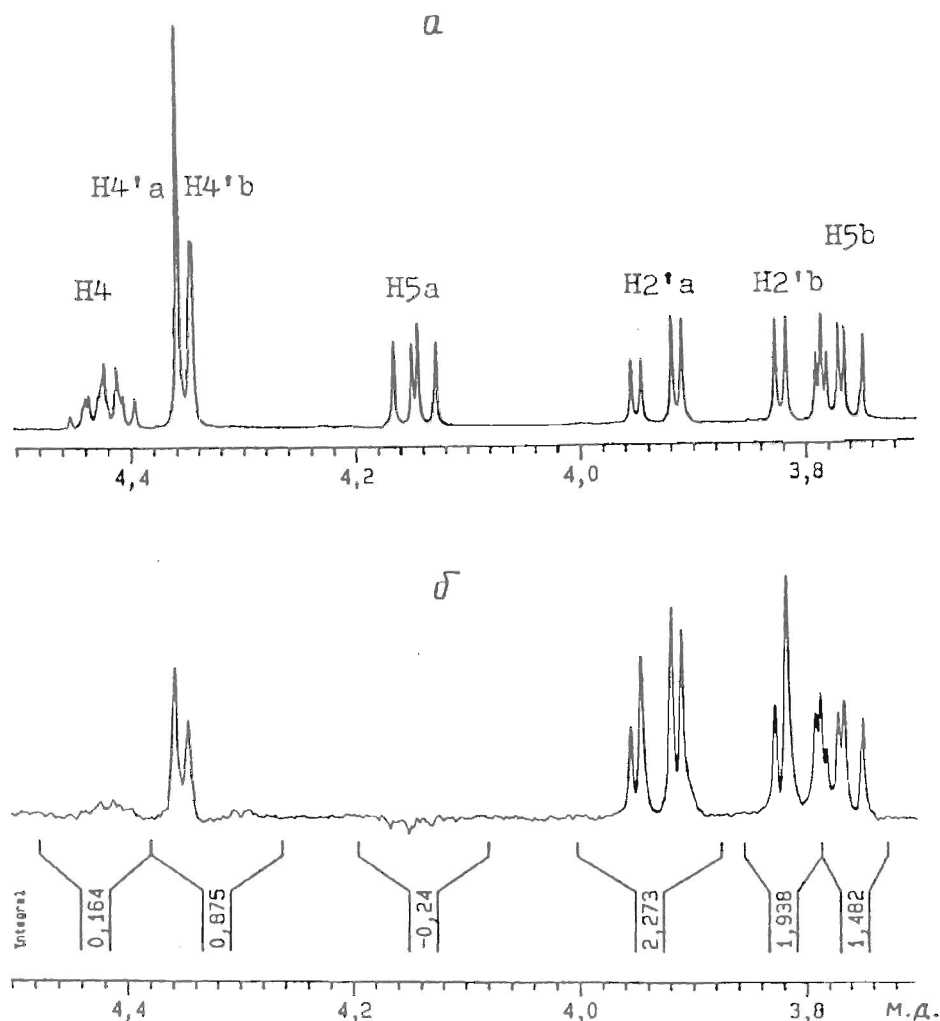


Рис. 2. Сильнопольная часть ПМР-спектра соединения (IX) в  $\text{CDCl}_3$  при 300 К (а) и ЯЭО, возникающие при насыщении сигнала  $\text{H}2$  (б)

Отнесение сигналов протонов  $2'\text{-CH}_2$ -группы, а также однозначное доказательство конфигурации диастереомеров проведено методом разностной спектроскопии ядерного эффекта Оверхаузера (ЯЭО) (рис. 1 и 2). Подавление сигнала  $\text{H}2$  приводит к значительному ЯЭО на соседних метиленовых протонах  $\text{H}2'\text{a}$ ,  $2'\text{b}$  (суммарно более 4%). Возникновение ЯЭО на  $\text{H}5\text{b}$  (2,35 и 1,48% в соединениях (VIII) и (IX) соответственно), находящемся в *цис*-положении по отношению к ацетальному  $\text{H}2$ , при отсутствии ЯЭО на *транс*-протоне  $\text{H}5\text{a}$  позволяет осуществить соотнесение сигналов  $\text{H}5\text{a}$  и  $\text{H}5\text{b}$ . В остальных случаях при отнесении протонов метиленовых групп символом «а» обозначен более слабопольный сигнал.

О *цис*-конфигурации соединения (VIII) свидетельствует появление ЯЭО (2,63%) на сигнале  $\text{H}4$  при насыщении  $\text{H}2$  [18] (рис. 1б). Для *транс*-изомера (IX) характерно отсутствие ЯЭО (0,16%) на сигнале  $\text{H}4$  [18] и наличие небольшого (0,87%) эффекта на  $\text{H}4'\text{a}$ ,  $4'\text{b}$  (рис. 2б).

Дебензилирование соединений (VIII), (IX) метанольным аммиаком и после-

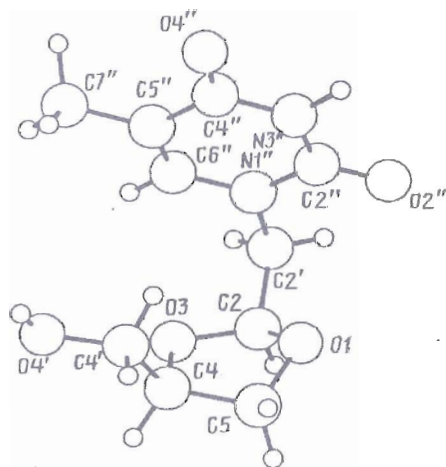


Рис. 3. Строение молекулы вещества (X), определенное по данным рентгеноструктурного анализа (приведена одна из двух молекул, связанных центром асимметрии). Рисунок выполнен с помощью программы PLUTO

дующая кристаллизация из этанола привели к нуклеозидам (X) и (XI). Закономерности, проявляющиеся в ПМР-спектрах соединений (X) и (XI), аналогичны закономерностям, наблюдаемым в спектрах бензоильных производных (см. табл. 2).

Структура синтезированных соединений подтверждена также рентгеноструктурным анализом. На рис. 3 представлено строение одной молекулы цис-изомера (X), в табл. 3 приведены длины валентных связей и величины валентных углов. Диоксолановый цикл имеет конформацию О1-эндо — С5-экзо ( $T_5$ ). Фазовый угол псевдовращения —  $P = 166,5^\circ$ , максимальная амплитуда псевдовращения  $\nu_m = 39,4^\circ$ , что несколько больше обычной наблюдаемой ( $31\text{--}35^\circ$ ) в природных нуклеозидах. Торсионные углы, описывающие взаимную ориентацию основания и диоксоланового цикла, следующие:  $(O3—C2—C2'—N1'') = 65,6^\circ$ ,  $(O1—C2—C2'—N1'') = -52,2^\circ$ ,  $(C2—C2'—N1''—C2') = 95,4^\circ$ ,  $(C2—C2'—N1''—C6'') = -80,5^\circ$ . В соединении наблюдается транс-конформация относительно экзоциклической  $C4—C4'$ -связи,  $\varphi(C5—C4—C4'—O4') = -178,4^\circ$ .

Предпринятая попытка исследовать рентгенографически структуру транс-изомера (XI) оказалась неудачной, так как у молекул в кристаллах была обнаружена сильная разупорядоченность в области диоксоланового фрагмента.

Как известно, 2',3'-дизодоксинауклеозиды — ингибиторы биосинтеза ДНК. Механизм их действия сводится к превращению в соответствующие моно-, ди- и трифосфаты нуклеозидкиназами, а затем к включению в растущую цепь ДНК с помощью ДНК-полимераз. Для изучения субстратных свойств диоксолановых аналогов нуклеозидов в ферментативных реакциях были получены соответствующие трифосфаты (XIV) и (XV). Обработка нуклеозидов (X), (XI) избытком  $\beta$ -цианэтилфосфата [19] в присутствии  $N,N'$ -дициклогексилкарбодимида приводила после щелочного удаления защитной группы к монофосфатам (XII), (XIII). Трифосфаты (XIV), (XV) синтезировали с хорошим выходом по методу [20]. ПМР-спектры моно- и трифосфатов (XII) — (XV) аналогичны спектрам исходных нуклеозидов. Результаты исследования биологических свойств диоксолановых аналогов будут сообщены отдельно.

Таблица 3

Длины валентных связей и величины валентных углов в молекуле цис-изомера (X) \*

| Связь          | Длина, Å | Связь          | Длина, Å |
|----------------|----------|----------------|----------|
| N1''—C2''      | 1,375(2) | C2'—N1''       | 1,463(2) |
| N1''—C6''      | 1,386(2) | C2'—C2         | 1,597(3) |
| C2''—N3''      | 1,372(2) | C2—O1          | 1,403(3) |
| C2''—O2''      | 1,216(2) | C2—O3          | 1,424(2) |
| N3''—C4''      | 1,389(2) | O1—C5          | 1,437(3) |
| C4''—C5''      | 1,434(2) | C5—C4          | 1,535(3) |
| C4''—O4''      | 1,227(2) | C4—O3          | 1,441(3) |
| C5''—C6''      | 1,340(3) | C4—C4'         | 1,504(3) |
| C5''—C7''      | 1,504(3) | C4—O4'         | 1,424(2) |
| Валентный угол | град     | Валентный угол | град     |
| C2''—N1''—C6'' | 121,3(1) | C6''—N1''—C2'  | 119,7(2) |
| N1''—C2''—N3'' | 114,6(2) | N1''—C2'—C2    | 112,6(2) |
| N1''—C2''—O2'' | 123,6(1) | C2'—C2—O1      | 111,9(1) |
| N3''—C2''—O2'' | 121,9(2) | C2'—C2—O3      | 109,8(2) |
| C2''—N3''—C4'' | 127,1(1) | O1—C2—O3       | 106,3(2) |
| N3''—C4''—C5'' | 115,3(2) | C2—O1—C5       | 104,2(1) |
| N3''—C4''—O4'' | 118,8(1) | O1—C5—C4       | 103,0(2) |
| C5''—C4''—O4'' | 125,9(2) | C5—C4—O3       | 102,9(2) |
| C4''—C5''—C6'' | 118,4(2) | C5—C4—C4'      | 112,8(1) |
| C4''—C5''—C7'' | 118,8(2) | O3—C4—C4'      | 110,3(2) |
| C6''—C5''—C7'' | 122,9(1) | C2—O3—C4       | 108,5(1) |
| N1''—C6''—C5'' | 123,4(2) | C4—C4'—O4'     | 108,2(2) |
| C2''—N1''—C2'  | 118,9(2) |                |          |

\* В скобках дано стандартное отклонение.

### Экспериментальная часть

Спектры ЯМР регистрировали на спектрометре Bruker AMX 400 (Германия) при 300 К, значения химических сдвигов  $\delta$  в м. д. рассчитаны относительно сигнала  $\text{CHCl}_3$  ( $\delta$  7,2 м. д.) для соединений (VIII), (IX) и относительно сигнала HOD ( $\delta$  4,63) для (X), (XI). ЯЭО измеряли в аналогичных условиях с использованием стандартной программы NOEDIF (UXNMR версия 911101). УФ-спектры снимали в воде на приборе Specord UV-VIS (ГДР). ТСХ проводили на пластинках с силикагелем Kieselgel 60F<sub>254</sub> (Merck, Германия) в системах хлороформ (A); хлороформ — этанол, 95 : 5 (B); хлороформ — этанол, 9 : 1 (B); хлороформ — этанол, 8 : 2 (Г); изопропанол — конц. аммиак — вода, 7 : 1 : 2 (Д) и на пластинках с PEI-целлюлозой в системе 1 M LiCl (E). В качестве сорбента для препаративной колоночной хроматографии использовали силикагель L 40/100 мкм (Chemapol, ЧСФР). Для обращенно-фазовой хроматографии применяли сорбент Bondesil C18 (40 мкм, Analytichem International). Данные элементного анализа (C, H, N) соединений (VIII)—(XI) отличались от вычисленных значений не более чем на 0,4%.

Использованные для рентгеноструктурного анализа кристаллы получены из насыщенного раствора изомера (X) в этаноле в результате медленного испарения

растворителя при 4° С. Пространственная группа кристаллов  $P\bar{1}$ , параметры элементарной ячейки;  $a$  5,385(2);  $b$  7,869(2);  $c$  13,690(2) Å;  $\alpha$  103,57(1);  $\beta$  83,10(2);  $\gamma$  105,18(2)°;  $Z$  2. Параметры ячейки и интенсивности 1649 отражений измерены на четырехкружном дифрактометре CAD-4F (Enraf Nonius, Голландия;  $\omega/\theta$ -сканирование,  $CuK_{\alpha}$ -излучение, графитовый монохроматор,  $0^\circ < \theta < 65^\circ$ ). Экспериментальные данные были скорректированы на факторы Лоренца и поляризации. В структурном исследовании использованы интенсивности 1514 независимых отражений с  $I > 5\sigma(I)$ . Структура расшифрована прямыми методами и уточнена полноматричным методом наименьших квадратов в анизотропном приближении для неводородных атомов. Координаты большинства атомов водорода определены из геометрических соображений, а для атомов водорода, связанных с O4' и C7'', найдены по разностным синтезам Фурье. Окончательное значение фактора расхождения  $R = 4,4\%$ . Все расчеты проведены по комплексу программ SDP [21].

( $\pm$ )-*цис*-2-Бромметил-4-бензоилоксиметил-1,3-диоксолан (*VII*). Смесь 10 г (51 ммоль) 1-бензоилглицерина [13], 7,7 мл (51 ммоль) диэтилацеталая бромацетальдегида и 0,2 г моногидрата *n*-толуолсульфокислоты нагревали с одновременной отгонкой этанола. При достижении реакционной смесью 150° С нагревание прекращали. Приливали хлороформ (150 мл), нейтрализовали 10% NaHCO<sub>3</sub>. Органический слой отделяли, промывали водой (2×30 мл), сушили Na<sub>2</sub>SO<sub>4</sub> и упаривали в вакууме досуха, из остатка хроматографией на силикагеле в системе хлороформ — гексан (1 : 1) выделяли продукт. Выход 12,2 г (79%),  $R_f$  0,53 (А). НМР ( $CDCl_3$ ),  $\delta$ : 8,07—7,28 м (5Н, Bz), 5,30 т (0,4Н,  $J_{2,2} 3,5$ , *транс*-Н2), 5,15 т (0,6Н,  $J_{2,2} 3,5$ , *цис*-Н2), 4,59—3,77 м (5Н, H4, H4', H5), 3,41 д (1,2Н, *цис*-Н2'), 3,39 д (0,8Н, *транс*-Н2').

( $\pm$ )-*цис*-2-(Тимин-1-илметил)-4-бензоилоксиметил-1,3-диоксолан (*VIII*) и ( $\pm$ )-*транс*-2-(тимин-1-илметил)-4-бензоилоксиметил-1,3-диоксолан (*IX*). К суспензии 1,90 г (15 ммоль) тимина в 30 мл абс. DMF добавляли 0,75 г (18,75 ммоль) 60% NaH, перемешивали 1 ч, нагревали до 110° С и добавляли 4,5 г (15 ммоль) бромида (*VII*) в 10 мл абс. DMF. Реакционную смесь выдерживали 10 ч при 110° С, фильтровали, фильтрат упаривали в вакууме, остаток растворяли в хлороформе (150 мл), органический слой промывали водой (2×30 мл), сушили Na<sub>2</sub>SO<sub>4</sub>, фильтровали и упаривали. Остаток хроматографировали на силикагеле (200 мл), системой А элюировали бромид (*VII*), а затем N1,N3-бис-продукт с выходом 0,60 г (7%),  $R_f$  0,63 (Б). Далее системой Б элюировали смесь диастереомеров (*VIII*) и (*IX*) в соотношении 3 : 2. Выход 0,85 г (16%),  $R_f$  0,39 (Б).

Смесь диастереомеров (0,5 г) растворяли в 2 мл смеси 25% ацетонитрил — вода, наносили на колонку с сорбентом Bondesil C18 (150 мл) и элюировали системой ацетонитрил — вода (1 : 3). УФ-поглощающие фракции объединяли и упаривали в вакууме. Остаток растворяли в хлороформе (50 мл), сушили Na<sub>2</sub>SO<sub>4</sub>, фильтровали, упаривали в вакууме и перекристаллизовывали из этанола. Выход изомера (*VIII*) 0,24 г (48%). <sup>13</sup>C-ЯМР ( $CDCl_3$ ): 166,2 (C=O), 163,1 (C=O), 163,0 (C=O), 141,3 (C6''), 133,5, 129,7, 128,6 (Bz), 101,7 (C2), 74,4 (C4), 67,4 (C5), 64,5 (C4'), 49,3 (C2'), 12,2 (5''-Me). Выход изомера (*IX*) 0,125 г (25%). <sup>13</sup>C-ЯМР ( $CDCl_3$ ): 166,1 (C=O), 163,1 (C=O), 163,0 (C=O), 141,1 (C6''), 133,4, 129,7, 128,5 (Bz), 101,4 (C2), 74,3 (C4), 67,3 (C5), 64,0 (C4'), 49,1 (C2'), 12,2 (5''-Me).

( $\pm$ )-*цис*-2-(Тимин-1-илметил)-4-гидроксиметил-1,3-диоксолан (*X*). Раствор 200 мг (0,58 ммоль) соединения (*VIII*) в 5 М. аммиаке в метаноле (10 мл) выдерживали при 20° С 3 сут и упаривали в вакууме. Остаток растворяли в воде (50 мл) и экстрагировали хлороформом (2×10 мл). Водный раствор упаривали и остаток кристаллизовали из этанола. Выход 105 мг (75%). УФ-спектр (вода):  $\lambda_{\text{макс}}$  272 нм ( $\epsilon$  8940) при pH 1—7; 269 нм ( $\epsilon$  6660) при pH 13.

( $\pm$ )-*транс*-2-(Тимин-1-илметил)-4-гидроксиметил-1,3-диоксолан (*XI*) получали

аналогично из 120 мг (0,35 ммоль) соединения (IX). Выход 70 мг (82%). УФ-спектр (вода):  $\lambda_{\text{макс}}$  272 нм ( $\epsilon$  7700) при pH 1–7; 269 нм ( $\epsilon$  5840) при pH 13.

( $\pm$ )-*цис*-2-(Тимин-1-илметил)-4-гидроксиметил-1,3-диоксолан-4'-фосфат (XII). К раствору 48 мг (0,2 ммоль) нуклеозида (X) в 3 мл ац. пиридина добавляли 0,6 мл 1 М раствора пиридиниевой соли  $\beta$ -цианэтилфосфата в пиридине, упаривали в вакууме, остаток упаривали с ац. пиридином (3×3 мл), к остатку добавляли 3 мл ац. пиридина и 0,5 г (2,4 ммоль) N,N'-дициклогексилкарбодимида. Реакционную смесь выдерживали при 20° С 3 сут, контролируя реакцию по ТСХ в системах В и Д. Прибавляли 5 мл воды, перемешивали 1 ч при 20° С, фильтровали, осадок промывали 20% водным пиридином, объединенные фильтраты экстрагировали эфиром (2×20 мл) и наносили на колонку с DEAE-целлюлозой (HCO<sub>3</sub><sup>-</sup>-форма, объем 150 мл). Колонку промывали водой и элюировали 0,05 М NHEt<sub>3</sub>HCO<sub>3</sub>. Фракции, содержащие продукт, объединяли, упаривали в вакууме, упаривали с водой (5×10 мл), к остатку прибавляли 6 мл 1 М NaOH, через 10 мин при 20° С раствор пропускали через колонку с дауэксом 50 (H<sup>+</sup>-форма, 8 мл), к элюату добавляли разбавленный раствор NH<sub>4</sub>OH до pH 9 и лиофилизовали. Выход аммониевой соли нуклеотида (XII) составлял 80%. R, 0,17 (Д), 0,3 (Е). УФ-спектр (вода):  $\lambda_{\text{макс}}$  272 нм.

( $\pm$ )-*транс*-2-(Тимин-1-илметил)-4-гидроксиметил-1,3-диоксолан-4'-фосфат (XIII) получали аналогичным фосфорилированием 24 мг (0,1 ммоль) нуклеозида (XI) с выходом 55%. R, 0,17 (Д), 0,3 (Е). УФ-спектр (вода):  $\lambda_{\text{макс}}$  272 нм.

( $\pm$ )-*цис*-2-(Тимин-1-илметил)-4-гидроксиметил-1,3-диоксолан - 4'-трифосфат (XIV). К раствору 84 мкмоль аммониевой соли нуклеотида (XII) в 3 мл воды добавили 25 мкл три-*n*-бутиламина, перемешивали до растворения при 20° С, упаривали в вакууме, упаривали с ац. DMF (3×3 мл), остаток растворяли в 2 мл ац. DMF, добавляли 50 мг (0,31 ммоль) N,N'-карбонилдииimidазола и выдерживали 3 ч при 20° С. К смеси прибавляли 33 мкл метанола, через 30 мин добавляли 1 мл 0,5 М раствора три-*n*-бутиламмониевой соли пирофосфорной кислоты в ац. DMF. Реакционную смесь выдерживали 16 ч при 20° С, упаривали в вакууме, остаток растворяли в 50 мл воды и наносили на колонку с DEAE-целлюлозой (HCO<sub>3</sub><sup>-</sup>-форма, объем 150 мл). Колонку промывали водой и хроматографировали в градиенте концентрации NHEt<sub>3</sub>HCO<sub>3</sub> (0,0 → 0,3 М). Трифосфат (XIV) элюировался при 0,15 М NHEt<sub>3</sub>HCO<sub>3</sub>. Фракции, содержащие продукт, упаривали, упаривали с водой (5×20 мл). Остаток растворяли в 5 мл воды, пропускали через колонку с дауэксом 50 (Na<sup>+</sup>-форма, объем 2 мл), элюировали водой и лиофилизовали. Выход натриевой соли трифосфата (XIV) 56%. R, 0,046 (Д), 0,14 (Е). УФ-спектр (вода):  $\lambda_{\text{макс}}$  272 нм.

( $\pm$ )-*транс*-2-(Тимин-1-илметил)-4-гидроксиметил-1,3-диоксолан- 4'-трифосфат (XV) синтезировали аналогично из 55 мкмоль аммониевой соли нуклеотида (XIII). Выход 72%. R, 0,047 (Д), 0,14 (Е). УФ-спектр (вода):  $\lambda_{\text{макс}}$  272 нм.

Авторы благодарят фирму «Bruker Analytische Messtechnik GmbH» (Karlsruhe, Germany) за предоставленную возможность снятия спектров ЯМР на спектрометре AMX 400 в Демо-Центре (Москва).

## СПИСОК ЛИТЕРАТУРЫ

1. Herdewijn P., De Clercq E. //Design of Anti-AIDS Drugs//Ed. De Clercq E. Amsterdam: Elsevier, 1990, Pharmacogen. Library. V. 14. P. 141—174.
2. Михайлов С. Н. //Биосорбант. химия. 1992. Т. 18. № 8. С. 1033—1066.
3. Mitsuya H., Broder S. //Proc. Nat. Acad. Sci. USA. 1986. V. 83. № 6. P. 1911—1915.
4. Yarchoan R., Mitsuya H., Thomas R. V., Pluda J. M., Hartman N. R., Perno C.-F., Marczyk K. S., Allain J. P., Johns D. G., Broder S. //Science. 1989. V. 245. № 4916. P. 412—415.

5. Larder B. A., Darby G., Richman D. D.//Science. 1989. V. 243. № 4899. P. 1731—1734.
6. York J. L.//J. Org. Chem. 1981. V. 45. № 10. P. 2171—2173.
7. Bamford M. J., Humber D. C., Storer R.//Tetrahedron Lett. 1991. V. 32. № 2. P. 271—274.
8. Huryn D. M., Sluboski B. C., Tam S. Y., Todaro L. J., Weigle M.//Tetrahedron Lett. 1989. V. 30. № 46. P. 6259—6262.
9. Tam S., Holman M., Huryn D. M., Cislo A.//Nucleosides and Nucleotides. 1991. V. 10. № 1—3. P. 245—248.
10. Jones M. F., Noble S. A., Robertson C. A., Storer R.//Tetrahedron Lett. 1991. V. 32. № 2. P. 247—250.
11. Belleau B., Dixit D., Nguyen-Ba N., Kraus J. L./Abstr. Papers, V<sup>th</sup> Int. Conf. on AIDS, Montreal; International Development Res. Centre: Ottawa, Ontario. 1989. P. 515. T. C. O. 1.
12. Norbeck D. W., Spanton S., Broder S., Mitsuya H.//Tetrahedron Lett. 1989. V. 30. № 46. P. 6263—6266.
13. Chu C. K., Ahn S. K., Kim H. O., Beach J. W., Alves A. J., Jeong L. S., Islam Q., Van Roey P., Schinazi R. F.//Tetrahedron Lett. 1991. V. 32. № 31. P. 3791—3794.
14. Wainberg M. A., Stern M., Martel R., Belleau B., Soudeyns H.//Abstr. Papers, V<sup>th</sup> Int. Conf. on AIDS, Montreal; International Development Res. Centre: Ottawa, Ontario. 1989. P. 525. M. C. P. 63.
15. Ogilvie K. K., Hanna H. R., Proba Z.//Nucleosides and Nucleotides. 1986. V. 5. № 2. P. 169—183.
16. Лидак М. Ю., Пазгле Р. А., Плата М. Г., Швачкин Ю. П.//Химия гетероциклических соединений. 1971. № 4. С. 530—534.
17. Willy W. E., Binsch G., Eliel E. L.//J. Amer. Chem. Soc. 1970. V. 92. № 18. P. 5394—5402.
18. Rosemeyer H., Toth G., Seela F.//Nucleosides and Nucleotides. 1989. V. 8. № 4. P. 587—597.
19. Tener G. M.//J. Amer. Chem. Soc. 1961. V. 83. № 1. P. 159—168.
20. Hoard D. E., Ott D. G.//J. Amer. Chem. Soc. 1965. V. 87. № 8. P. 1785—1788.
21. Frenz B. A.//Enraf-Nonius SDP-Plus Structure Determination Package. Version 3.0, Enraf-Nonius, Delft, The Netherlands. 1985.

Поступила в редакцию  
21.V.1992

E. V. EFIMTSEVA, S. N. MIKHAILOV, S. V. MESHKOV \*,  
A. V. BOCHKAREV, G. V. GURSKAYA

## DIOXOLANE ANALOGUES OF 3'-DEOXYTHYMIDINE

V. A. Engelhardt Institute of Molecular Biology, Russian Academy of Sciences, Moscow;  
\*N. N. Semyonov Institute of Chemical Physics, Russian Academy of Sciences, Moscow

New nucleoside analogues on the basis of *cis*- and *trans*- ( $\pm$ )-2-methyl-4-hydroxymethyl-1,3-dioxolanes have been prepared. Alkylation of sodium salt of thymine with 2-bromomethyl-4-benzoyloxyethyl-1,3-dioxolane yielded, after chromatographic separation of *cis*- and *trans*-isomers and debenzylation, the desired analogues of 3'-deoxythymidine. Corresponding mono- and triphosphates were also prepared. The structure of the synthesized compounds was confirmed by NMR spectroscopy and X-ray analysis.